

УДК 532.517

УСТОЙЧИВОСТЬ НЕОСЕСИММЕТРИЧНЫХ ЖИДКИХ СТРУЙ

С. Я. ГЕРЦЕНШТЕЙН, В. Я. ШКАДОВ

(Москва)

Впервые задача об устойчивости капиллярной жидкой струи была решена Рэлеем [1], который рассмотрел устойчивость неподвижного столба невязкой жидкости по отношению к возмущениям различного рода и показал, что на поверхности жидкости быстрее развиваются осесимметричные волны с длиной волны, равной примерно девяти радиусам жидкого столба. Задача о неосесимметричных волнах на поверхности цилиндрического столба жидкости наиболее детально рассмотрена в работе Бора [2]. В работе Г. И. Петрова и Т. Д. Калининой рассмотрено влияние окружающей среды на устойчивость жидкой капиллярной струи. Обзор более поздних работ дан в [4]. В последнее время опубликовано несколько работ [5-8], посвященных теоретическому исследованию некоторых нелинейных эффектов, относящихся к неустойчивости осесимметричных струй.

В данной работе рассмотрено поведение неосесимметричных струй. Интерес к исследованию некруглых струй объясняется, в частности, тем, что струи, вытекающие из неосесимметричных отверстий, могут распадаться значительно раньше, чем осесимметричные струи [9, 10].

Решена нелинейная задача о пространственном стационарном течении неосесимметричной капиллярной струи. Получены характерные формы изменения струи. Показано, что наибольшее влияние нелинейности наблюдается в том месте поверхности, которое наименее удалено от оси струи. Приведены значения амплитуд, с которых может начинаться разрушение (нарушение сплошности) некоторых неосесимметричных струй.

Поставлена и решена задача об устойчивости капиллярной жидкой струи, вытекающей из неосесимметричного отверстия. Показано, что наличие неосесимметричности приводит к более быстрому распаду струи. Это вызывается в основном увеличением коэффициента нарастания возмущений и увеличением эффективной амплитуды возмущений в отдельных местах на поверхности струи из-за наличия неосесимметричности.

Приведены некоторые экспериментальные результаты по изучению распада струй, вытекающих из неосесимметричных отверстий. Подтверждено наличие двух механизмов воздействия неосесимметричности струи на неустойчивость и распад.

1. Рассмотрим развитие течения в струе, вытекающей из отверстия неокругового сечения. Предположим, что действием силы тяжести и вязкостью можно пренебречь. В цилиндрической системе координат z, r, θ уравнения движения имеют следующий вид:

$$\begin{aligned} u_t + uu_z + vu_r + r^{-1}wu_\theta &= -p_z \\ v_t + uv_z + vv_r + r^{-1}wv_\theta - w^2r^{-1} &= -p_r \\ w_t + uw_z + vw_r + r^{-1}ww_\theta + wv/r &= -r^{-1}p_\theta \end{aligned} \quad (1.1)$$

Здесь u, v, w — проекции скорости на оси z, r, θ . На поверхности струи примем условие непротекания и условие отсутствия касательных напряжений. Тогда, учитывая поверхностное натяжение, получим на поверхности струи при

$$r = h(z, \theta, t) \quad (0 \leq \theta \leq 2\pi) \quad (1.2)$$

$$h_t + uh_z + r^{-1}wh_\theta = v \quad (1.3)$$

$$p - p_* = \sigma x \quad (1.4)$$

$$\kappa = \left[1 + \left(\frac{h_0}{h} \right)^2 + h_z^2 \right]^{-3/2} \left\{ \frac{1}{h} \left(1 + 2 \left(\frac{h_0}{h} \right)^2 + h_z^2 \right) - \frac{1 + h_z^2}{h^2} h_{00} - \right. \\ \left. - \left(1 + \left(\frac{h_0}{h} \right)^2 \right) h_{zz} + 2 \frac{h_0 h_z h_{0z}}{h^2} \right\}, \quad \sigma = \frac{T}{\rho U_0^2 R_0} \quad (1.5)$$

Уравнения (1.1)–(1.5) записаны в безразмерной форме. В качестве масштабов длины и скорости выбраны характерный размер выходного сечения R_0 и характерная скорость вытекания U_0 . Параметр σ — число Вебера, T — коэффициент поверхностного натяжения, ρ — плотность.

Во многих случаях число σ мало. Например, если струя воды вытекает из отверстия диаметром $R_0 = 4$ мм под напором $H = 2$ м при температуре 15°C , то $\sigma = 0.0075$. При этом скорость истечения равна $U_0 = 630$ см·сек $^{-1}$. В экспериментах Бора [2] скорость истечения 440 см·сек $^{-1}$ при среднем диаметре отверстия $R_0 = 1.35$ мм, что дает $\sigma = 0.0045$. Будем предполагать в дальнейшем, что $\sigma \ll 1$.

Рассмотрим прежде всего случай, когда отклонения формы струи от осесимметричной являются малыми. Если течение в выходном отверстии равномерное, т. е. $u = 1$, $v = 0$, $w = 0$, то можно рассмотреть малые возмущения цилиндрического столба идеальной жидкости. Записывая

$$u = 1 + \varepsilon u_1, \quad v = \varepsilon v_1, \quad w = \varepsilon w_1, \quad p = p_0 + \varepsilon p_1$$

и отбрасывая в уравнениях (1.1)–(1.4) члены с квадратами ε , получим для возмущений линейную систему уравнений с постоянными коэффициентами. Частное решение этой системы, удовлетворяющее условиям на поверхности (1.3), (1.4), имеет вид

$$u = -\frac{ik}{\omega + ik} p, \quad v = -\frac{1}{\omega + ik} p', \quad w = -\frac{i\beta}{\omega + ik} \frac{1}{r} p \\ p = I_\beta(kr) \exp\{\omega t + ikz + i\beta\theta\} \quad (1.6)$$

Здесь $I_\beta(kr)$ суть функция Бесселя, а величины ω , k , β связаны соотношением

$$(\omega + ik)^2 = \sigma(1 - \beta^2 - k^2) \frac{kI_\beta'(k)}{I_\beta(k)} \quad (1.7)$$

Для неосесимметричных возмущений $\beta = 2, 3, \dots$, и из (1.7) получаем

$$\omega_r = 0, \quad (\omega_i + k)^2 = \sigma\beta(\beta^2 - 1)$$

Если положить $\omega_i = 0$, то получим стационарное возмущение с пространственно-периодическими волнами, имеющими постоянную амплитуду. Длины этих волн имеют порядок $\sigma^{-1/2}$ и могут в несколько десятков раз превышать средний диаметр струи. В системе координат, перемещающейся со средней скоростью жидкости, это возмущение будет периодическим по времени. В случае струи эллиптического сечения $\beta = 2$, поэтому для безразмерной частоты колебаний получаем

$$q^2 = \frac{(\omega_i + k)^2}{\sigma} = 6$$

Если ввести обозначение $\varepsilon^2 = \sigma$, то, как следует из формулы (1.6), в линейном приближении имеем оценки безразмерных величин

$$u^* = 1 + \varepsilon^2 u, \quad v^* = \varepsilon v, \quad w^* = \varepsilon w, \quad p^* = \varepsilon^2 p, \quad z^* = \varepsilon^{-1} z. \quad (1.8)$$

Примем эти оценки и в нелинейном приближении. Рассмотрим стационарное течение, развивающееся в струе, вытекающей с постоянной скo-

ростью из отверстия. При этом течение можно считать безвихревым. Система уравнений (1.1) – (1.4) с учетом оценок (1.8) для безвихревого течения приводится к виду

$$r(ru_r)_r = u_{\theta\theta} = 0, \quad v_z = u_r, \quad w_z = r^{-1}u_\theta \quad (1.9)$$

$$r = h(z, \theta), \quad h_z = v - r^{-1}wh_\theta$$

$$p - p_0 = \left[1 + \left(\frac{h_\theta}{h} \right)^2 \right]^{-3/2} \left[\frac{1}{h} \left(1 + 2 \left(\frac{h_\theta}{h} \right)^2 \right) - \frac{h_{\theta\theta}}{h^2} \right]$$

Для системы (1.9) поставим задачу с начальными условиями при $z = 0$. Пусть в этом сечении заданы периодические по θ функции v , w , $u(r, \theta)$ и $h(\theta)$, причем возмущение $u(r, \theta)$ удовлетворяет первому уравнению (1.9). Тогда система (1.9) позволяет рассчитать форму струи и распределение скоростей в каждом последующем сечении z . Применим метод работы [8].

Периодическое по θ решение системы (1.9) будем искать в виде

$$u = u_0 + u_1 e^{i\beta\theta} + u_1^* e^{-i\beta\theta} + u_2 e^{2i\beta\theta} + u_2^* e^{-2i\beta\theta} + \dots \quad (1.10)$$

Аналогичные выражения примем для v , w , h . Здесь u_k , v_k , w_k – комплексные функции z и r , h_k – только z , а величины со звездочкой – комплексно-сопряженные.

Разложение (1.10) можно записать в виде

$$\begin{aligned} h &= h_0(z) + 2(h_{10} \cos \beta\theta - h_{11} \sin \beta\theta) + \\ &+ 2(h_{20} \cos 2\beta\theta - h_{21} \sin 2\beta\theta) + \dots \end{aligned} \quad (1.11)$$

учитывая, что

$$h_1 = h_{10} + ih_{11}, \quad u_1 = u_{10} + iu_{11}$$

Как легко видеть, решения уравнений (1.9) для скоростей v , w имеют вид

$$\begin{aligned} u_0 &= u_0(z), \quad u_k = A_k(z)r^{k\beta}, \quad v_0 = 0 \\ v_k &= B_k(z)r^{k\beta-1}, \quad w = 0, \quad w_k = C_k(z)r^{k\beta-1} \end{aligned}$$

Коэффициенты A_k , B_k , C_k связаны между собой уравнениями

$$B_k' = k\beta A_k, \quad C_k' = ik\beta A_k \quad (1.12)$$

Функции $A_k(z)$ и $h_k(z)$ должны быть определены из двух нелинейных уравнений (1.9), выполняющихся на поверхности струи.

Подставим (1.10) в эти уравнения и проведем разложения по степеням $\exp[i\beta\theta]$. Отбрасывая члены, содержащие степени, начиная с третьей, и приравнивая нулю выражения при оставшихся степенях экспоненты, получим системы уравнений для $h_k A_k$. Из уравнения непротекания получаем

$$\begin{aligned} \frac{dh_0}{dz} &= V_0 - i \frac{\beta}{h_0} (w_1^* h_1 - w_1 h_1^*) \\ \frac{dh_1}{dz} &= V_1 - i \frac{\beta}{h_0} \left(w_0 h_1 + 2w_1^* h_2 - \frac{1}{h_0} h_1^2 w_1^* - h_1^* w_2 \right) \\ \frac{dh_2}{dz} &= V_2 - i \frac{\beta}{h_0} w_1 h_1 \\ V_0 &= (\beta - 1) h_0^{\beta-2} (B_1 h_1^* + B_1^* h_1) \end{aligned} \quad (1.13)$$

$$\begin{aligned}
 V_1 = h_0^{\beta-3} & \left[\frac{(\beta-1)(\beta-2)}{2} (h_1^2 B_1^* + 2h_1 h_1^* B_1) + (\beta-1) h_0 h_2 B_2^* + \right. \\
 & \left. + (2\beta-1) h_0^\beta B_2 h_1^* + h_0^2 B_1 \right] \quad (1.14) \\
 V_2 = h_0^{\beta-2} & [h_0^\beta B_2 + (\beta-1) h_1 B_1]
 \end{aligned}$$

Величины w_k определяются из подобных соотношений с заменой B_k на C_k . Из интеграла Бернулли находим выражение для давления

$$p = p_0 - u - \frac{1}{2}(u^2 + w^2)$$

Отсюда получаем

$$\begin{aligned}
 h_0^{\beta-2} & [h_0^2 - \beta(\beta+1)h_1 h_1^*] A_1 + \beta h_0^{\beta-2} [h_0 h_2 + \frac{1}{2}(\beta-1)h_1^2] A_1^* = \\
 = & (\beta^2 - 1) h_0^{-2} h_1 + E_1 h_2 h_1^* + E_2 h_1^2 h_1^* - h_0^{2\beta-3} [2(\beta-1)(B_1 B_1^* + C_1 C_1^*) h_1 + \\
 & + h_0^{\beta+1} (\beta+1) (B_2 B_1^* + C_2 C_1^*) - (B_1^2 + C_1^2) h_1^*] \quad (1.15) \\
 A_2 = & -\beta h_0^{-\beta-1} A_1 h_1 - h_0^{-2\beta} \left[\frac{4\beta^2-1}{h_0^2} h_2 + \frac{2-5\beta^2}{2h_0^3} h_1^2 + \right. \\
 & \left. + \frac{1}{2} (B_1^2 + C_1^2) h_0^{2(\beta-1)} \right]
 \end{aligned}$$

$$E_1 = (8\beta^3 - 2\beta + 8\beta^2 - 2) h_0^{-3}, \quad E_2 = \frac{1}{2} (4\beta - 10\beta^3 - 15\beta^2 + 3\beta^4 + 6) h_0^{-4}$$

Система дифференциальных уравнений (1.12), (1.13) вместе с алгебраическими соотношениями (1.14), (1.15) решалась численно от точки $z=0$. В начальном сечении $z=0$ задавались значения всех вычисляемых функций h_k, B_k, C_k . Эти значения определяют начальное возмущение.

Наиболее просто представить возмущение, которое создается изменением формы выходного отверстия для равномерно вытекающего потока. Простейший случай, когда $h_{10}(0) \neq 0$ при $z=0$ и все $h_{ik}=0, B_{ik}=0, C_{ik}=0$. Расчеты с такими начальными данными были проведены при разных значениях $h_{10}(0), \beta$. На фиг. 1 показана форма струи в сечениях, перпендикулярных оси, на разных расстояниях от выходного отверстия $z=0$ (1), 3.9 (2), 7.8 (3) при $\beta=2$ и $h_{10}(0)=0.25$.

На фиг. 2 форма струи дана на расстояниях $z=0$ (1), 7.8 (2), 19.5 (3) при $\beta=3$, $h_{10}(0)=0.25$. Изменение поверхности струи в сечении плоскостью $\theta=0$, проходящей через ось симметрии, в зависимости от расстояния от выходного отверстия дается при $h_{10}=0.25$ на фиг. 3 ($\beta=2$) и на фиг. 4 ($\beta=3$). Можно видеть, что в струе развиваются пространственно-периодические волны.

Длина этих волн слабо меняется по z и близка к значению, определяемому формулой линейной теории (1.4). В целом влияние нелинейных членов проявляется мало на расстояниях порядка шести длин волн. Как видно на фиг. 1, 2, наиболее заметно нелинейность проявляется в точках поверхности, наименее удаленных от оси.

Расчеты показывают, что такой характер течения сохраняется при значениях $h_{10} \approx 0.3$. Изменение характера начальных условий при $z=0$ вызывает количественные изменения в решении, не меняя общей картины. С ростом β отклонение решения от линейного становится более заметным. Например, при $\beta=4$ значение $h_{10}(0)=0.135$ приводит к быстрому разрушению струи, что проявляется в переполнении при счете с таким начальным возмущением.

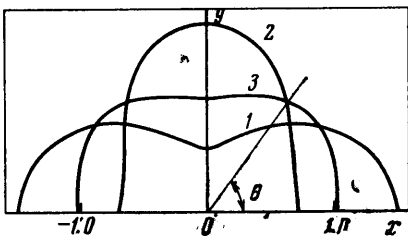
2. Исследуем устойчивость неосесимметричной жидкой капиллярной струи. Если рассматриваемое течение потенциально, то задача сводится к решению уравнения Лапласа

$$\Phi_{rr} + r^{-1}\Phi_r + r^{-2}\Phi_{\theta\theta} + \Phi_{zz} = 0 \quad (2.1)$$

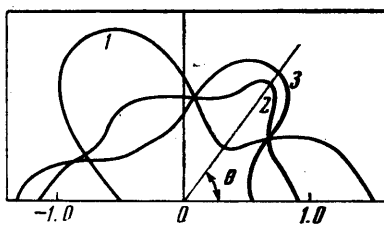
$$0 \leq r \leq 1 + \xi(\theta, z, t) = h, \quad 0 \leq \theta \leq 2\pi \quad (-\infty < z < \infty)$$

Здесь $\Phi(r, z, \theta, t)$ — потенциал скорости.

Задачу рассмотрим в системе координат, перемещающейся со средней скоростью жидкости, а в качестве масштаба скорости для безразмерных пе-



Фиг. 1



Фиг. 2

ременных t и θ выберем $V^* = T^{1/2}(\rho a)^{1/2}$. Тогда граничные условия (1.3) и (1.4) при $r = 1 + \xi$ принимают вид

$$\Phi_r = \Phi_z \xi_z + r^{-2} \Phi_{\theta} \xi_{\theta} - \xi_t \quad (2.2)$$

$$-\Phi_t - 1/2 [\Phi_r^2 + \Phi_z^2 + r^{-2} \Phi_{\theta}^2] + \kappa - 1 = 0 \quad (2.3)$$

В новых переменных линейное частное решение (1.6) примет вид

$$p = T_b(kr) \exp(qt + ikz + i\beta\theta) \quad (q = (\omega + ik)\sigma^{-1/2})$$

Это решение является периодическим по t и медленно меняется по z , так как $k \sim \sigma^{1/2}$. Поэтому основное состояние, устойчивость которого исследуется, можно рассматривать как бесконечный цилиндрический столб подковящейся жидкости, на который наложены колебания по времени. Используем для основного состояния приближенное аналитическое решение, полученное в работе [2]

$$\begin{aligned} \xi^{(0)} = 1 + & (-1/8 b^2 - 1/8 b^2 \cos 2qt) + b \cos 2\theta \cos qt + \\ & + (1/8 b^2 \cos 2qt + 1/4 b^2) \cos 4\theta = A \xi_1^{(0)} + A^2 \xi_2^{(0)} \end{aligned} \quad (2.4)$$

$$\Phi^{(0)} = Ar^2 \sin qt \cos 2\theta - 5/12 A^2 q^{-1} r^4 \sin 2qt \cos 4\theta = A \Phi_1^{(0)} + A^2 \Phi_2^{(0)} \quad (2.5)$$

$$b = 2A/q, \quad q^2 = 6$$

Пусть

$$\Phi = \Phi^{(0)} + \varepsilon \Phi^{(1)}, \quad \xi = \xi^{(0)} + \varepsilon \xi^{(1)}, \quad \varepsilon \ll A^2$$

Подставив Φ и ξ в исходные уравнения и линеаризируя их относительно параметра ε , получим уравнения и граничные условия, описывающие поведение малых возмущений

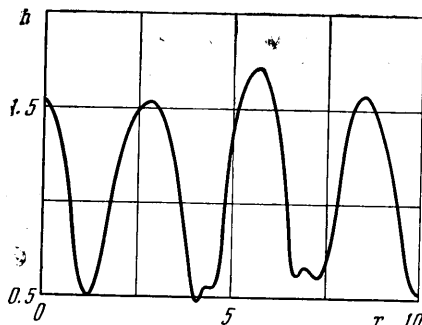
при $r = 1 + \xi^{(0)}$

$$\begin{aligned} \Phi_{rr}^{(0)} \xi^{(1)} + \Phi_r^{(1)} = & r^{-2} \{ [\Phi_{\theta r}^{(0)} \xi^{(1)} + \Phi_{\theta}^{(1)}] \xi_{\theta}^{(0)} + \\ & + \Phi_{\theta}^{(0)} \xi_{\theta}^{(1)} \} - \Phi_{\theta}^{(0)} \xi_{\theta}^{(0)} 2 \xi^{(1)} - \xi_t^{(1)} \end{aligned}$$

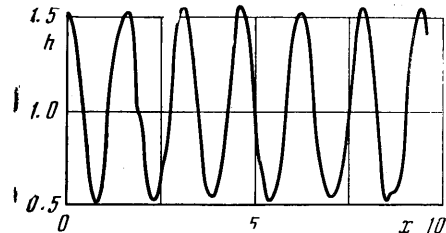
$$-\Phi_t^{(1)} - \Phi_{tr}^{(0)} \xi^{(1)} + \Phi_r^{(0)} \Phi_r^{(1)} + r^{-2} \Phi_\theta^{(0)} \Phi_\theta^{(1)} + \\ + \Phi_r^{(0)} \Phi_{rr}^{(0)} \xi^{(1)} + \Phi_\theta^{(0)} \Phi_{\theta r}^{(0)} \xi^{(1)} - \Phi_\theta^{(0)2} \xi^{(1)} + (\kappa - 1) = 0 \quad (2.6)$$

$$(\kappa - 1) = - \frac{\xi^{(1)}}{(1 + \xi^{(0)})^2} [1 + 2\xi_\theta^{(0)2}] + \frac{4\xi_\theta^{(0)} \xi^{(1)}}{(1 + \xi^{(0)})^3} - 4\xi^{(0)2} \xi^{(1)} + \\ + \frac{2\xi^{(1)} \xi_\theta^{(0)}}{(1 + \xi)^3} - \frac{\xi_\theta^{(1)}}{(1 + \xi^{(0)})^2} - \xi_{zz}^{(1)} - \xi_{zz}^{(1)} \xi_\theta^{(0)2} + \frac{3}{2} \frac{\xi^{(0)2}}{1 + \xi^{(0)}} (\xi^{(1)} + \xi_{zz}^{(1)}) - \\ - \frac{3\xi_\theta^{(0)} \xi^{(1)}}{(1 + \xi^{(0)})^2} \left\{ \frac{1}{1 + \xi^{(0)}} - \xi_\theta^{(0)} \right\} + 3\xi_\theta^{(0)2} \xi^{(1)} \quad (2.7)$$

Здесь часть членов порядка εA^3 отброшена, волновое число α порядка единицы, оно соответствует волнам, длина которых сравнима с диаметром струи.



Фиг. 3



Фиг. 4

По аналогии с обыкновенными дифференциальными уравнениями, имеющими периодические коэффициенты [11], решение для $\varphi^{(1)}$ и $\xi^{(1)}$ будем искать в виде

$$\Phi^{(1)} = e^{i\alpha z} \varphi^{(1)}(r, \theta, t), \quad \xi^{(1)} = e^{i\alpha z} \eta^{(1)}(\theta, t) \\ \varphi^{(1)} = e^{i\omega t} \varphi(r, \theta, t), \quad \eta^{(1)} = e^{i\omega t} \eta(\theta, t) \quad (2.8)$$

где $\varphi(r, \theta, t)$ и $\eta(\theta, t)$ — периодически по θ и t функции с теми же периодами, что и основное состояние. Нетрудно видеть, что теперь получаем задачу на собственные значения для системы уравнений в частных производных.

Представим решение этой задачи в виде

$$\varphi = \varphi_0 + A\varphi_1 + A^2\varphi_2 + \dots$$

$$\eta = \eta_0 + A\eta_1 + A^2\eta_2 + \dots$$

$$\omega = \omega_0 + A\omega_1 + A^2\omega_2 + \dots$$

Все функции φ удовлетворяют уравнению (2.1). Подставив данные выражения в граничные условия и собирая члены при A^k , получим рекуррентную систему уравнений, определяющих последовательные приближения $\varphi_0, \eta_0, \varphi_1, \eta_1$.

В нулевом приближении уравнения при $r = 1$ имеют вид

$$L_1(\varphi_0, \eta_0) = \varphi_{0,r} + \eta_{0,t} + i\omega_0\eta_0 = 0 \quad (2.9)$$

$$L_2(\varphi_0, \eta_0) = -\varphi_{0,t} - i\omega_0\varphi_0 - \eta_0 - \eta_{0,\theta\theta} + a^2\eta^0 = 0$$

Пусть $\varphi_{0,\theta} = 0$ и $\eta_{0,\theta} = 0$, тогда

$$\varphi_0 = A_0 I_0(iar) = A_0 I_0(ar), \quad \eta_0 = \text{const}$$

$$\omega_0^2 = \frac{i a I_0'(ia)}{I_0(ia)} (\alpha^2 - 1)$$

т. е. в нулевом приближении получаем известное решение Рэлея.

В первом приближении при $r = 1$ получаем

$$L_1(\varphi_1; \eta_1) = -\Phi_{rr}^{(0)}\eta_0 - \varphi_{0,rr}\xi^{(0)} - i\omega_1\eta_0$$

$$L_2(\varphi_1; \eta_1) = \Phi_{rr}^{(0)}\eta_1^{(1)} + i\omega_1\varphi_0 + (i\omega_0\varphi_{0,r} + \varphi_{0,tt})\xi^{(0)} - \Phi_{r,r}^{(0)}\varphi_{0,r} - 2\xi^{(0)}\eta_0 - \xi_{\theta\theta}^{(0)}2\eta_0$$

Подставив известные значения $\Phi^{(0)}$, $\xi^{(0)}$, φ_0 и η_0 , найдем

$$L_1(\varphi_1; \eta_1) = -A_2 \sin qt \cos 2\theta\eta_0 - a^2 I_0''(a) A_0 b \cos 2\theta \cos qt - i\omega_1\eta_0 = \\ = \gamma_1 \sin qt \cos 2\theta + \gamma_1 \cos qt \cos 2\theta - i\omega_1\eta_0$$

$$L_2(\varphi_1; \eta_1) = 2Aq \cos qt \cos 2\theta\eta_0^{(1)} + i\omega_1\varphi_0 + \\ + A_i \omega_0 a I_0'(a) b \cos 2\theta \cos qt - A_2 \sin qt \cos 2\theta A_0 a I_0'(a) - \\ - 2b \cos qt \cos 2\theta\eta_0 + 4b \cos qt \cos 2\theta 2\eta_0 = \\ = \gamma_2 \cos qt \cos 2\theta + \gamma_3 \sin qt \cos 2\theta + i\omega_1\varphi_0$$

Нетрудно показать, что решение данной задачи имеет вид

$$\varphi_1 = I_2(ar) \cos 2\theta [\kappa_{12} \cos qt + \kappa_{12} \sin qt], \quad \omega_1 = 0 \\ \eta_1 = \cos 2\theta [\kappa_{21} \cos qt + \kappa_{22} \sin qt]$$

Таким образом, в первом приближении задача сводится к нахождению постоянных κ_{11} , κ_{12} , κ_{21} , κ_{22}

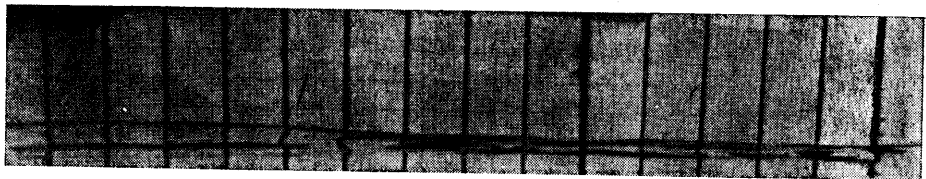
$$a I_2'(a) \kappa_{11} + i\omega_0 \kappa_{21} + q \kappa_{22} = \gamma_1 \\ - [i\omega_0 \kappa_{11} + q \kappa_{12}] I_2(a) + 3\kappa_{21} + a^2 \kappa_{21} = \gamma_2 \\ a I_2'(a) \kappa_{12} + i\omega_0 \kappa_{22} - q \kappa_{21} = \gamma_3 \\ - [i\omega_0 \kappa_{12} - q \kappa_{11}] I_2(a) + 3\kappa_{22} + a^2 \kappa_{22} = \gamma_4$$

Объединяя члены вида εA^2 , получим

$$L_1(\varphi_2, \eta_2) = -\varphi_{0,rr}\eta_0^{(0)} - \varphi_{0,rrr}^{1/2}\eta_0^{(0)2} - \varphi_{1,rr}\eta_0^{(0)} - \\ - (\Phi_{rr}^{(0)} + \Phi_{rrr}^{(0)}\xi^{(0)}) (\eta_0 + \eta_1) + \varphi_{0,r}^{(1)}\xi_0^{(0)} + \Phi_{\theta r}^{(0)}\xi_0^{(0)}\eta_0^{(1)} + \\ + \Phi_{\theta}^{(0)}\xi_0^{(1)} - 2\xi_0^{(0)}\Phi_{\theta}^{(0)}\eta_0^{(1)} - i\omega_2\eta_0 + \varphi_{0,rr}b \cos gt \cos 2\theta \\ L_2(\varphi_2, \eta_2) = (\varphi_{0,tt} + i\omega_0\varphi_{0,r} + \varphi_{1,tt} + i\omega_0\varphi_{1,r})\xi^{(0)} + \\ + i\omega_0\varphi_{0,rr}^{1/2}\xi^{(0)2} + \Phi_{rr}^{(0)}(\eta_0 + \eta_1) + \Phi_{rr}^{(0)}\xi^{(0)}\eta_0 - \Phi_{r,r}^{(0)}(\varphi_{0,r} + \varphi_{1,r} + \\ + \varphi_{0,rr}\xi^{(0)}) - \Phi_{rr}^{(0)}\xi^{(0)}\varphi_{0,r} - \Phi_{\theta}^{(0)}\varphi_{1,\theta} - \Phi_{r,r}^{(0)}\Phi_{rr}^{(0)}\eta_0^{(1)} - \Phi_{\theta}^{(0)}\Phi_{\theta r}^{(0)}\eta_0^{(1)} +$$

$$\begin{aligned}
 & + \Phi_{\theta}^{(0)2} \eta_0 + i\omega_2 \varphi_0 - \left\{ -(\eta_0^{(1)} + \eta_1^{(1)}) [-2\xi^{(0)} + 3\xi^{(0)2}] - \eta_0^{(1)} 2\xi_{\theta}^{(0)2} + \right. \\
 & + 4\xi_{\theta}^{(0)} \eta_{1,\theta}^{(1)} - 4\xi_{\theta}^{(0)2} \eta_0 + 2 \frac{\xi_{\theta\theta}^{(0)} (\eta_0 + \eta_1)}{(1 + \xi^{(0)})^3} - \frac{\eta_{1,\theta\theta}}{(1 + \xi^{(0)})^2} + a^2 (\eta_0 + \eta_1) + \\
 & \left. + a^2 \eta_0 \xi_{\theta}^{(0)2} + \frac{3}{2} \frac{\xi_{\theta}^{(0)2}}{1 + \xi^{(0)}} (\eta_0 - a^2 \eta_0) - 3\xi_0^{(0)} \eta_{1,\theta} + 3\xi_{\theta}^{(0)2} \xi^{(1)} \right\}.
 \end{aligned}$$

Здесь с целью сокращения записи включено несколько лишних членов вида εA^3 .



Фиг. 5

Правые неоднородные части выписанной системы уравнений, определяющей φ_2 и η_2 , имеют вид

$$\kappa_1^{(i)} \cos 2\theta + \kappa_2^{(i)} \cos 2qt + \kappa_3^{(i)} \cos 2\theta \cos 2qt + \kappa_4^{(i)} \quad (i = 1, 2)$$

Здесь $\kappa_1^{(i)}, \kappa_2^{(i)}, \kappa_3^{(i)}, \kappa_4^{(i)}$ — постоянные.

Решение системы уравнений при $\kappa_4^{(i)} = 0$ может быть легко выписано. При решении системы возникнут особенности, если $\kappa_4^{(i)} \neq 0$. Действительно, если

$$\partial\varphi_2 / \partial\theta = 0, \quad \partial\varphi_2 / \partial t = 0$$

то

$$\varphi_2 = \varphi_2(0) I_0(\alpha r), \quad \varphi_2(0) = \text{const}$$

Нетрудно видеть, что при этом левые части уравнений, определяющих φ_2 и η_2 , оказываются пропорциональными, т. е. система уравнений может быть решена не при любых $\kappa_4^{(1)}$ и $\kappa_4^{(2)}$. Необходимо, чтобы правые части $\kappa_4^{(1)}$ и $\kappa_4^{(2)}$ были точно также пропорциональны, как и левые

$$\frac{\kappa_4^{(1)}}{\kappa_4^{(2)}} = \frac{i\omega}{1 - \alpha^2}$$

Напомним, что в выражение для $\kappa_4^{(1)}$ и $\kappa_4^{(2)}$ входит заранее неизвестная величина ω_2 , которая теперь может быть определена из полученного соотношения.

Несложные, но весьма громоздкие вычисления показывают, что $i\omega_2 \approx 2.6$ при $\alpha = 0.7$. Значение волнового числа $\alpha = 0.7$ соответствует наибольшему значению $i\omega_0 = 0.34$. Таким образом, наличие неосесимметричности жидких струй приводит к заметному усилению роста возмущений. Например,

$$A^2 i\omega_2 \approx 0.65 \quad \text{при } A = 1/2, \quad \alpha = 0.7$$

Для сравнения отметим, что $i\omega_0 \approx 0.34$.

Кроме данного механизма усиления возмущений, как уже отмечалось выше, существенную роль в распаде струи играет механизм неравномерного усиления возмущений. Из-за наличия неосесимметричности к основной симметричной волне добавляется некоторое несимметричное возмущение, которое заметно усиливает основное возмущение в отдельных местах на поверхности струи. Например, при $\alpha = 0.7$ уравнение поверхности струи

имеет вид

$$r = 1 + \varepsilon \xi_0 + \varepsilon A \xi_1 + \dots, \quad \xi_0 = \cos aze^{i\omega_0 t}$$

$$\xi_1 = \cos aze^{i\omega_0 t} \cos 2\theta [5.5 \cos qt + 6.7 \sin qt]$$

т. е. к основному симметричному возмущению присоединяется несимметричная часть порядка $\sim 10A$. Особенно заметно выделяется этот механизм усиления при малых амплитудах, когда вклад $A_i^2 \omega_2$ мал.

3. В экспериментальной части данной работы главное внимание было уделено влиянию неосесимметричной формы выходного отверстия на распад струи.

Струя вытекала горизонтально из бака через отверстие в пластине или через трубочку, которые с помощью специального устройства можно было легко заменять. Это позволяло в широких пределах менять форму выходного отверстия.



Фиг. 6

Были исследованы эллиптические отверстия со средним размером порядка 2.5 мм, а также отверстия треугольной и квадратной форм. Сторона равностороннего треугольника 3 мм, а сторона квадрата 2 мм. Уровень воды в баке во всех экспериментах поддерживался одинаковым. Скорость жидкости на выходе соответствовала давлению столба жидкости высотой 2 м. Температура воды 8° С.

Вытекающая из неосесимметричного отверстия жидкая струя на начальном участке довольно устойчива. В струе развивается стационарное пространственно-периодическое течение (фиг. 5), расчет течений такого типа проведен в п. 1.

Обычно длина волн λ превышала в несколько десятков раз средний размер. Согласно линейной теории имеем

$$\lambda = \tau_1 R_0 (\sigma \beta (\beta^2 - 1))^{-1/2}$$

Для струи на фиг. 5 (эллипс размером 3×2.7 мм²) расчетные и экспериментальные значения составляют соответственно $\lambda = 10.9$ и 10 см.

Дробление капли начинается на расстоянии L от выходного отверстия, зависящего от условий вытекания.

Во всех рассмотренных случаях, за исключением струй с очень большой эллиптичностью, основным механизмом дробления было образование симметричных относительно оси неустойчивых волн с длиной порядка нескольких значений характерного размера сечения струи, постепенное нарастание амплитуды этих волн по мере удаления от выходного отверстия и последующее образование капель. Эти явления хорошо видны на фиг. 6.

С увеличением степени эллиптичности в местах наибольшего расширения может происходить разделение основной струи на две. Чем больше эллиптичность, тем раньше происходит дробление ее на капли (длина L сплошного участка уменьшается). Например, $L \approx 30$ и 20 см для эллипсов 3·2.7, 4·2.5 мм². Начало распада струи фиксировалось с помощью стробоскопа. Еще быстрее дробление происходит в струях квадратного и треугольного сечения. Эти результаты подтверждаются теорией в п. 1, 2.

Если струя вытекает из трубки, то распад на капли начинается очень быстро. Течение в струе при этом, по-видимому, турбулентное. Наряду с основным механизмом дробления (образование симметричных волн) может наблюдаться также и другой механизм, связанный с образованием несимметричных волн.

Авторы благодарят Г. И. Петрова за внимание к работе.

Поступила 10 II 1972

ЛИТЕРАТУРА

1. Р е л е й. Теория звука, т. 2. М., Гостехиздат, 1955.
2. B o h r N. Determination of the surface tension of water by method of jet vibration. Philos. Trans. Roy. Soc. London, Ser. A, 1909, vol. 209, p. 281.
3. П е т р о в Г. И., К а л и н и н а Т. Д. Применение метода малых колебаний к исследованию распада струи топлива в воздухе. Технические заметки МАП, 1947, вып. 4.

4. Бородин В. А., Дитякин Ю. Ф., Клячко Л. А., Ягодкин В. И. Распыливание жидкостей. М., «Машиностроение», 1967.
 5. Man-Chuen Yuen, Non-linear sapillary instability of a liquid jet. J. Fluid Mech., 1968, vol. 33, No. 1, pp. 151—163.
 6. Wang D. P. Finite amplitude effect on the stability of a jet of circular cross section. J. Fluid Mech., 1968, vol. 34, No. 2, pp. 299—313.
 7. Ali Hasan Naufeh. Non-linear stability of a liquid jet. Phys. Fluids, 1970, vol. 13, No. 4, p. 841.
 8. Шкадов В. Я., Маркова М. М. Нелинейное развитие капиллярных волн в струе жидкости. Изв. АН СССР, МЖГ, 1972, № 3.
 9. Дитякин Ю. Ф. Об устойчивости и распаде на капли жидкой струи эллиптического сечения. Изд. АН СССР, ОТН, 1954, т. 10, стр. 124—130.
 10. Иванов В. А. О дроблении жидкой струи. ПМТФ, 1966, № 8, стр. 30—37.
 11. Малкин Г. И. Теория устойчивости движения, Изд. 2. М., «Наука», 1966.
-